

УДК 519.85

## ОПТИМАЛЬНАЯ УПАКОВКА ЭЛЛИПСОВ С УЧЕТОМ ДОПУСТИМЫХ РАССТОЯНИЙ

А. В. ПАНКРАТОВ, Т. Е. РОМАНОВА, И. А. СУББОТА

**РЕЗЮМЕ.** Рассматривается задача оптимальной упаковки эллипсов, допускающих непрерывные вращения. Для аналитического описания основных ограничений размещения используются свободные от радикалов квази- $\rho$ -функции и псевдонормализованные квази- $\rho$ -функции. Строится математическая модель в виде задачи нелинейного программирования. Предлагается эффективные алгоритмы поиска стартовых точек из области допустимых решений и поиска локальных экстремумов. Приводятся результаты численных экспериментов.

### ВВЕДЕНИЕ

Задачи оптимального размещения (в частности, задачи упаковки и раскроя [1, 2]) относятся к классу NP-сложных задач [3] и является частью теории исследования операций и вычислительной геометрии. Этот класс задач имеет широкий спектр научных и практических применений (см. например, <http://smartimtech.com>), в том числе: в современной биологии, минералогии, медицине, материаловедении, нанотехнологии, робототехнике, системах распознавания образов, в химической промышленности, машиностроении, строительстве и т.д.

Предметом исследования данной статьи является задача упаковки в следующей постановке. Пусть задана прямоугольная область  $\Omega = \{(x, y) \in R^2 : 0 \leq x \leq l, 0 \leq y \leq w\}$  переменной длины  $l$  и переменной ширины  $w$ , и набор эллипсов  $E_i, i \in \{1, 2, \dots, n\} = I_n$ , которые должны размещаться внутри области  $\Omega$ . Каждый эллипс  $E_i$  задан большой и малой полуосями  $a_i$  и  $b_i$ . Полус эллипса  $E_i$  совпадает с началом его собственной системы координат, а граница эллипса  $E_i$  описывается в параметрическом виде:  $x_i = a_i \cos t_i, y_i = b_i \sin t_i, 0 \leq t_i \leq 2\pi$ . Полагаем, что система координат контейнера  $\Omega$  — фиксирована. Положение эллипса  $E_i$  характеризуется вектором трансляции  $(x_i, y_i)$  и углом поворота  $\theta_i$ . Между эллипсами  $E_i$  и  $E_j$  могут быть заданы ограничения на минимально  $\rho_{ij}^-$  и/или максимально  $\rho_{ij}^+$  допустимые расстояния, а между эллипсом  $E_i$  и границей контейнера  $\Omega$  — ограничения на минимально допустимые расстояния  $\rho_i^-$ .

*Задача упаковки эллипсов.* Разместить множество эллипсов  $E_i(x_i, y_i, \theta_i), i \in I_n$ , в контейнере  $\Omega$  минимальной площади  $F = l \cdot w$ , учитывая ограничения на заданные допустимые расстояния.

Один из способов решения данной задачи — аппроксимация эллипсов дугами окружностей и использование метода, предложенного в [4, 5], который основан на применении свободных от радикалов  $\phi$ -функций, приведенных в [6]. Однако в этом случае полученное приближенное решение в значительной степени зависит от точности аппроксимации эллипсов.

Обзор публикаций (см. например, [7–9]) по этой тематике дает возможность сделать вывод о том, что только в недавней работе Josef Kallrath и Steffen Rebennack [9] излагается метод решения задачи упаковки истинных эллипсов (без аппроксимаций), допускающих вращения, с использованием современных NLP solvers, доступных в GAMS. В этой статье приводится достаточно подробный обзор литературы, посвященный задачам упаковки эллипсов. С целью аналитического описания условия непересечения неориентированных эллипсов авторы используют идею разделяющей прямой, предложенную в работе [10] для моделирования отношений кругов и выпуклых многоугольников. В этом исследовании получено глобальное решение для небольшого числа эллипсов ( $n \leq 4$ ). Однако при  $n > 14$  авторам не удалось получить локально-оптимального решения. В этой связи авторы предложили эвристический *polythetic*-алгоритм для размещения большего числа эллипсов ( $n \leq 100$ ) в прямоугольной области фиксированной ширины и переменной длины. Публикаций, посвященных размещению эллипсов с учетом допустимых расстояний, найти не удалось.

В данном исследовании рассматривается новый подход, основанный на математическом моделировании отношений между эллипсами (непересечение, расположение на минимально и максимально допустимом расстоянии) с использованием свободных от радикалов квази- $\phi$ -функций (нормализованных, псевдонормализованных квази- $\phi$ -функций). Этот подход позволяет представить задачу оптимальной упаковки эллипсов с учетом допустимых расстояний в виде задачи нелинейного программирования и получать локально оптимальные решения при  $n \leq 120$ . Кроме того, используя квази- $\phi$ -функции, удалось улучшить результаты по времени и значению функции цели для многих примеров ( $5 \leq n \leq 100$ ), приведенных в статье [9].

## 1. МОДЕЛИРОВАНИЕ ОСНОВНЫХ ОГРАНИЧЕНИЙ

В качестве эффективного средства математического моделирования отношений неориентированных замкнутых  $\phi$ -объектов  $A$  и  $B$  с переменными метрическими характеристиками используется новый класс функций — квази- $\phi$ -функции [11].

Полагаем, что по крайней мере один из объектов ограничен. Размеры объектов могут изменяться в соответствии с коэффициентами гомотеции  $\lambda_A, \lambda_B > 0$ . Положение объекта  $A$  определяется вектором трансляции  $v_A = (x_A, y_A)$  и углом поворота  $\theta_A$ . Обозначим  $u_A = (v_A, \theta_A, \lambda_A)$  вектор переменных объекта  $A$ .

*Определение и основные свойства квази-phi-функций.* Квази-phi-функцией для объектов  $A(u_A)$  и  $B(u_B)$  называется всюду определенная, непрерывная по всем переменным  $(u_A, u_B, u')$  функция  $\Phi'^{AB}$ , для которой при фиксированных  $\lambda_A$  и  $\lambda_B$  функция  $\max_{u' \in U \subset R^n} \Phi'^{AB}(u_A, u_B, u')$  является phi-функцией объектов  $A(u_A)$  и  $B(u_B)$ . Здесь  $u'$  — вектор вспомогательных переменных.

Квази-phi-функция  $\Phi'^{AB}(u_A, u_B, u')$  обладает рядом важных свойств:

1. Если  $\Phi'^{AB}(u_A, u_B, u') \geq 0$ , то  $\text{int}A(u_A) \cap \text{int}B(u_B) = \emptyset$ . Здесь  $\text{int}(\bullet)$  — внутренность объекта  $\bullet$ .

2. Если  $\Phi^{AP}(u_A, u_P)$  — phi-функция для  $A(u_A)$  и  $P(u_P)$ , а  $\Phi^{BP^*}(u_B, u_P)$  — phi-функция для  $B(u_B)$  и  $P^*(u_P) = R^2 \setminus \text{int}P(u_P)$ , где  $P(u_P) = \{(x, y) : \psi_P = \alpha \cdot x + \beta \cdot y + \mu_P \leq 0\}$ ,  $u_P = (\theta_P, \mu_P)$ ,  $\alpha = \cos \theta_P$ ,  $\beta = \sin \theta_P$ , то функция, определенная в виде

$$\Phi'^{AB}(u_A, u_B, u_P) = \min\{\Phi^{AP}(u_A, u_P), \Phi^{BP^*}(u_B, u_P)\}, \quad (1)$$

является квази-phi-функцией для пары ограниченных выпуклых объектов  $A(u_A)$  и  $B(u_B)$ . Здесь  $u' = u_P$ .

3. Если  $\Phi'^{AP}(u_A, u_P, u'_1)$  и  $\Phi'^{BP^*}(u_B, u_P, u'_2)$  — квази-phi-функции для пар объектов  $A(u_A)$ ,  $P(u_P)$  и  $B(u_B)$ ,  $P^*(u_P)$ , то функция

$$\Phi'^{AB}(u_A, u_B, u') = \min\{\Phi'^{AP}(u_A, u_P, u'_1), \Phi'^{BP^*}(u_B, u_P, u'_2)\} \quad (2)$$

является квази-phi-функцией для пары ограниченных объектов  $A(u_A)$  и  $B(u_B)$ . Здесь  $u' = (u_P, u'_1, u'_2)$ .

*Определение нормализованной и псевдонормализованной квази-phi-функции.* Понятие квази-phi-функции может быть использовано также для моделирования ограничений на допустимые расстояния между объектами. С этой целью используются определения нормализованной и псевдонормализованной квази-phi-функции, основываясь на аналогичных терминах для phi-функций [5].

Пусть  $\text{dist}(A, B) = \min_{a \in A, b \in B} d(a, b)$ ,  $d(a, b)$  — евклидово расстояние между точками  $a$  и  $b$ . Обозначим  $\rho^- > 0$ ,  $\rho^+ > 0$  — заданные минимально и максимально допустимые расстояния между объектами  $A(u_A)$  и  $B(u_B)$ .

Квази-phi-функция  $\tilde{\Phi}'^{AB}(u_A, u_B, u')$  для объектов  $A(u_A)$  и  $B(u_B)$  называется нормализованной, если функция  $\max_{u' \in U} \tilde{\Phi}'^{AB}(u_A, u_B, u')$  является нормализованной phi-функцией.

Таким образом,  $\rho^- \leq \max_{u' \in U} \tilde{\Phi}'^{AB} \leq \rho^+ \Leftrightarrow \rho^- \leq \text{dist}(A, B) \leq \rho^+$ .

Функция  $\hat{\Phi}'^{AB}(u_A, u_B, u')$  называется псевдонормализованной квази-phi-функцией для объектов  $A(u_A)$  и  $B(u_B)$ , если функция  $\max_{u' \in U} \hat{\Phi}'^{AB}(u_A, u_B, u')$  является псевдонормализованной phi-функцией.

Аналогично понятиям псевдонормализованных phi-функций [6] будем различать псевдонормализованные квази-phi-функции  $\hat{\Phi}'_{-}{}^{AB}$  для моделирования ограничений  $\text{dist}(A, B) \geq \rho^-$  и псевдонормализованные квази-phi-функции  $\hat{\Phi}'_{+}{}^{AB}$  для моделирования ограничений  $\text{dist}(A, B) \leq \rho^+$ .

Тогда,  $\max_{u' \in U} \widehat{\Phi}'_{-}{}^{AB} \geq 0 \Leftrightarrow \text{dist}(A, B) \geq \rho^{-}$ ,  $\max_{u' \in U} \widehat{\Phi}'_{+}{}^{AB} \geq 0 \Leftrightarrow \text{dist}(A, B) \leq \rho^{+}$ .

Пусть квази-phi-функция имеет вид

$$\Phi'^{AB}(u_A, u_B, u_P) = \min\{\widetilde{\Phi}^{AP}(u_A, u_P), \widetilde{\Phi}^{BP^*}(u_B, u_P)\}, \quad (3)$$

где  $\widetilde{\Phi}^{AP}(u_A, u_P), \widetilde{\Phi}^{BP^*}(u_B, u_P)$  — нормализованные phi-функции.

Тогда квази-phi-функция  $\widetilde{\Phi}'^{AB}(u_A, u_B, u_P) = 2\Phi'^{AB}(u_A, u_B, u_P)$  является нормализованной квази-phi-функцией для объектов  $A(u_A)$  и  $B(u_B)$ , а квази-phi-функция  $\widehat{\Phi}'_{-}{}^{AB}(u_A, u_B, u_P) = \Phi'^{AB}(u_A, u_B, u_P) - 0.5\rho^{-}$  является псевдонормализованной квази-phi-функцией для объектов  $A(u_A)$  и  $B(u_B)$ .

Пусть уравнение  $f^A = 0$  ( $f^B = 0$ ) описывает границу множества  $A$  ( $B$ ), при этом для  $p_1 \in R^2$  ( $p_2 \in R^2$ ),  $f^A(p_1) \geq 0$  ( $f^B(p_2) \geq 0$ ), если  $p_1 \in A$  ( $p_2 \in B$ ), и  $f^A(p_1) < 0$  ( $f^B(p_2) < 0$ ) — в противном случае.

Тогда функция вида

$$\widehat{\Phi}'_{+}{}^{AB}(u_A, u_B, u' = (p_1, p_2)) = \min\{(\rho^{+})^2 - \text{dist}^2(p_1, p_2), f^A(p_1), f^B(p_2)\} \quad (4)$$

является псевдонормализованной квази-phi-функцией для моделирования ограничений  $\text{dist}(A, B) \leq \rho^{+}$ .

*Квази-phi-функция для эллипсов.* Пусть  $E_1(u_1)$  и  $E_2(u_2)$  — эллипсы с полуосями  $\lambda_i a_i$  и  $\lambda_i b_i$ ,  $a_i > b_i$   $i = 1, 2$ . Переменные параметры эллипса  $E_i(u_i)$  имеют вид:  $u_i = (v_i, \theta_i, \lambda_i)$ , где  $v_i = (x_{E_i}, y_{E_i})$  — вектор трансляции,  $\theta_i$  — угол поворота,  $\lambda_i$  — коэффициент гомотетии. Параметр  $t_i$  определяет точку  $(x_i, y_i) = (\lambda_i a_i \cos t_i, \lambda_i b_i \sin t_i)$  на границе эллипса  $E_i$ ,  $0 \leq t_i \leq 2\pi$ ,  $i = 1, 2$ .

После поворота эллипса  $E_i$  на угол  $\theta_i$  и трансляции на вектор  $v_i = (x_{E_i}, y_{E_i})$  каждая точка  $(x_i, y_i)$  преобразуется следующим образом:  $(x'_i, y'_i) = v_i + M(\theta_i) \cdot (x_i, y_i)$ , где  $M(\theta_i)$  — матрица поворота, т. е.  $x'_i = x_{E_i} + x_i \cos \theta_i + y_i \sin \theta_i$ ,  $y'_i = y_{E_i} - x_i \sin \theta_i + y_i \cos \theta_i$ .

Пусть  $u' = (t_1, t_2)$ , тогда квази-phi-функцию для  $E_1(u_1)$  и  $E_2(u_2)$  можно представить в следующем виде:

$$\Phi'^{E_1 E_2}(u_1, u_2, u') = \min\{\chi(\theta_1, \theta_2, u'), \chi^{+}(u_1, u_2, u'), \chi^{-}(u_1, u_2, u')\}, \quad (5)$$

где  $\chi = -\langle N'_1, N'_2 \rangle = -\alpha'_1 \alpha'_2 - \beta'_1 \beta'_2$ ,  $\alpha'_i = \alpha_i \cos \theta_i + \beta_i \sin \theta_i$ ,  $\beta'_i = -\alpha_i \sin \theta_i + \beta_i \cos \theta_i$ ,  $\alpha_i = \frac{\cos t_i}{\lambda_i a_i}$ ,  $\beta_i = \frac{\sin t_i}{\lambda_i b_i}$ ,  $\chi^{+} = \alpha'_1(x_2^{+} - x_1) + \beta'_1(y_2^{+} - y_1) - 1$ ,  $\chi^{-} = \alpha'_1(x_2^{-} - x_1) + \beta'_1(y_2^{-} - y_1) - 1$ ,  $(x_2^{+}, y_2^{+}) = (x'_2, y'_2) + \eta(-\beta'_2, \alpha'_2)$ ,  $(x_2^{-}, y_2^{-}) = (x'_2, y'_2) - \eta(-\beta'_2, \alpha'_2)$ ,  $\eta = (\lambda_2 a_2)^2$ .

Квази-phi-функция для  $E_1(u_1)$  и  $E_2(u_2)$  может быть определена также в соответствии с формулой (2) в виде

$$\Phi'^{E_1 E_2}(u_1, u_2, u') = \min\{\Phi'^{E_1 P}(u_1, u_P, u'_1), \Phi'^{E_2 P^*}(u_2, u_P, u'_2)\}.$$

Квази-phi-функция для эллипса  $E(u_E)$  и полуплоскости  $P(u_P)$  имеет вид

$$\Phi'^{EP}(u_E, u_P, t) = \min\{\chi(\theta_E, \theta_P, t), \psi_P(x_E^{+}, y_E^{+}), \psi_P(x_E^{-}, y_E^{-})\},$$

где  $0 \leq t \leq 2\pi$  — вспомогательный параметр,  $\psi_P(x, y) = \alpha_P x + \beta_P y - 1$ ,  $\chi = -\langle N_P, N'_E \rangle$ ,  $N_P = (\alpha_P, \beta_P)$  — внешний вектор нормали полуплоскости  $P(u_P)$ ,  $N'_E = (\alpha'_E, \beta'_E)$  и  $(x_E^\pm, y_E^\pm)$  определяется аналогично  $(\alpha'_2, \beta'_2)$  и  $(x_2^\pm, y_2^\pm)$  в (4).

Пусть задано минимально допустимое расстояние  $\rho^-$  между эллипсами  $E_1$  и  $E_2$ . Полагаем, что  $\widehat{\Phi}'^{E_1 P}(u_1, u_P)$  и  $\widehat{\Phi}'^{E_2 P^*}(u_2, u_P)$  — псевдонормализованные квази-phi-функции, причем выполняется  $\max_{u_P \in U} \widehat{\Phi}'^{E_1 P}(u_1, u_P) \geq 0$ , если  $dist(E_1, P) \geq 0.5\rho^-$  и  $\max_{u_P \in U} \widehat{\Phi}'^{E_2 P^*}(u_2, u_P) \geq 0$ , если  $dist(E_2, P^*) \geq 0.5\rho^-$ . Тогда функция

$$\widehat{\Phi}'_{-}^{E_1 E_2}(u_1, u_2, u_P) = \min\{\widehat{\Phi}'^{E_1 P}(u_1, u_P), \widehat{\Phi}'^{E_2 P^*}(u_2, u_P)\} \quad (6)$$

является псевдонормализованной квази-phi-функцией для описания условия  $dist(E_1, E_2) \geq \rho^-$ .

Пусть уравнение  $f^{E_1} = 0$  ( $f^{E_2} = 0$ ) описывает границу эллипса  $E_1(u_1)$  ( $E_2(u_2)$ ), при этом для  $p_1 \in R^2$  ( $p_2 \in R^2$ ),  $f^{E_1}(p_1) \geq 0$  ( $f^{E_2}(p_2) \geq 0$ ), если  $p_1 \in E_1(u_1)$  ( $p_2 \in E_2(u_2)$ ), и  $f^{E_1}(p_1) < 0$  ( $f^{E_2}(p_2) < 0$ ) — в противном случае.

$$\widehat{\Phi}'_{+}^{E_1 E_2}(u_{E_1}, u_{E_2}, u') = \min\{(\rho^+)^2 - dist^2(p_1, p_2), f^{E_1}(p_1), f^{E_2}(p_2)\} \quad (7)$$

является псевдонормализованной квази-phi-функцией для моделирования  $dist(E_1, E_2) \leq \rho^+$ , где

$$u' = (p_1, p_2), f^{E_i}(p_i) = 1 - \frac{x_{p_i}'^2}{a_i'^2} - \frac{y_{p_i}'^2}{b_i'^2},$$

$$(x'_{p_i}, y'_{p_i}) = M(-\theta_i) \cdot (p_i - v_i), (p_i - v_i) = (x_{p_i} - x_{E_i}, y_{p_i} - y_{E_i}),$$

т. е.  $x'_{p_i} = (x_{p_i} - x_{E_i}) \cos \theta_i - (y_{p_i} - y_{E_i}) \sin \theta_i$ ,  $y'_{p_i} = (x_{p_i} - x_{E_i}) \sin \theta_i + (y_{p_i} - y_{E_i}) \cos \theta_i$ .

*Квази-phi-функция для эллипса и объекта  $\Omega^*$ .* Пусть:  $E(u_1)$  — эллипс с переменными параметрами  $u_1 = (x_1, y_1, \theta_1, \lambda_1)$ ;  $\Omega$  — прямоугольный контейнер с соответствующими вершинами  $v_1 = (0, 0)$ ,  $v_2 = (l, 0)$ ,  $v_3 = (l, w)$ ,  $v_4 = (0, w)$ ;  $\Omega^* = R^2 \setminus int \Omega$ .

Квази-phi-функция для  $E$  и  $\Omega^*$  имеет вид

$$\Phi'^{E\Omega^*}(u) = \min\{\varphi_{11}(v_1), \varphi_{11}(v_2), \varphi_{12}(v_3), \varphi_{12}(v_4), \varphi_{21}(v_2), \varphi_{21}(v_3), \varphi_{22}(v_1), \varphi_{22}(v_4)\}, \quad (8)$$

Здесь  $0 \leq t'_k \leq 2\pi$ ,  $\varphi_{k1} = A_k x + B_k y + C_k - 1$ ,  $\varphi_{k2} = -A_k x - B_k y - C_k - 1$ ,  $A_k = \alpha_k \cdot \cos \theta_1 + \beta_k \cdot \sin \theta_1$ ,  $B_k = -\alpha_k \cdot \sin \theta_1 + \beta_k \cdot \cos \theta_1$ ,  $\alpha_k = \frac{\cos t'_k}{\lambda_k a_1}$ ,  $\beta_k = \frac{\sin t'_k}{\lambda_k b_1}$ ,  $C_k = -A_k x_1 - B_k y_1$ ,  $k = 1, 2$ .

Пусть  $\rho^-$  — минимально допустимое расстояние между эллипсом  $E(u_1)$  и границей области  $\Omega$ . Тогда функция

$$\widehat{\Phi}'_{E\Omega^*} = \min\{\varphi_{11}(p_1^-), \varphi_{11}(p_2^-), \varphi_{12}(p_3^-), \varphi_{12}(p_4^-), \varphi_{21}(p_2^-), \varphi_{21}(p_3^-), \varphi_{22}(p_1^-), \varphi_{22}(p_4^-)\} \quad (9)$$

является псевдонормализованной квази-phi-функцией для моделирования  $dist(E_1, \Omega^*) \geq \rho^-$ , где  $p_i^-, i = 1, 2, 3, 4$  — вершины объекта  $\Omega^* \oplus C(\rho^-)$ ,  $C(\rho^-)$  — круг радиуса  $\rho^-$ , т. е.  $p_1^- = (\rho^-, \rho^-)$ ,  $p_2^- = (l - \rho^-, \rho^-)$ ,  $p_3^- = (l - \rho^-, w - \rho^-)$ ,  $p_4^- = (\rho^-, w - \rho^-)$ ,  $\oplus$  — символ суммы Минковского.

## 2. МАТЕМАТИЧЕСКАЯ МОДЕЛЬ

Прежде всего, определим вектор переменных задачи оптимизации. На данном этапе фиксируем коэффициенты гомотетии эллипсов, полагая, что  $\lambda_i = 1$  для всех  $i = 1, 2, \dots, n$ .

Вектор переменных  $u \in R^\sigma$  определяется так:  $u = (l, w, u_1, u_2, \dots, u_n, \tau)$ , где  $(l, w)$  — вектор метрических характеристик прямоугольного контейнера  $\Omega$ ,  $u_i = (x_i, y_i, \theta_i)$  — вектор параметров размещения эллипса  $E_i$ ,  $i \in I_n$ ,  $\tau$  — вектор дополнительных переменных.

Если не накладываются ограничения на допустимые расстояния, то вектор  $\tau$  имеет вид:  $\tau = t = (t_1^1, t_2^1, \dots, t_1^m, t_2^m, t_1^1, t_2^1, \dots, t_1^n, t_2^n)$ , где  $t_1^k, t_2^k$  — дополнительные переменные для  $k$ -й пары эллипсов, в соответствии с формулой (4),  $k = 1, \dots, m$ ,  $m = \frac{(n-1)n}{2}$ , а  $t_1^i, t_2^i$  — вспомогательные переменные для каждого эллипса  $E_i$ ,  $i \in I_n$ , в соответствии с формулой (8).

Если накладываются ограничения на допустимые расстояния, то  $\tau = (t, u_P, p_1^1, p_2^1, \dots, p_1^m, p_2^m)$ , где  $u_P = (u_P^1, \dots, u_P^m)$ ,  $u_P^k = (\theta_P^k, \mu_P^k)$ ,  $p_1^k = (x_{p_1}^k, y_{p_1}^k)$ ,  $p_2^k = (x_{p_2}^k, y_{p_2}^k)$ , поскольку в этом случае используются псевдонормализованные квази-phi-функции вида (6), (7) и (9). Таким образом, размерность  $\sigma$ -мерного Евклидова пространства  $R^\sigma$  определяется  $\sigma = n^2 + 4n + 2$ , если не накладываются ограничения на допустимые расстояния и  $\sigma = 4n^2 - n + 2$ , если учитываются минимально- и максимально- допустимые расстояния для всех пар эллипсов.

Математическая модель поставленной задачи может быть представлена в виде:

$$\min_{u \in W \subset R^\sigma} F(u), \quad (10)$$

$$W = \{u \in R^\sigma : \Upsilon_{ij} \geq 0, \Upsilon_i \geq 0, i < j = 1, 2, \dots, n\}, \quad (11)$$

где  $F(u) = l \cdot w$ ,  $\Upsilon_{ij}$  — функция отношений для пары эллипсов  $E_i$  и  $E_j$ ,  $\Upsilon_i$  — функция отношений для эллипса  $E_i$  и объекта  $\Omega^*$ ;

$\Upsilon_{ij} = \Phi'_{ij}$ , если  $\rho_{ij}^- = 0$ ,  $\rho_{ij}^+$  не задано,  $\Upsilon_{ij} = \widehat{\Phi}'_{-ij}$ , если  $\rho_{ij}^- > 0$ ,  $\rho_{ij}^+$  не задано,

$\Upsilon_{ij} = \min\{\Phi'_{ij}, \widehat{\Phi}'_{+ij}\}$ , если  $\rho_{ij}^- = 0$ ,  $\rho_{ij}^+ > 0$ ,  $\Upsilon_{ij} = \min\{\widehat{\Phi}'_{-ij}, \widehat{\Phi}'_{+ij}\}$ , если  $\rho_{ij}^+ \geq \rho_{ij}^- > 0$ ,

$\Upsilon_i = \Phi'_i$ , если  $\rho_i^- = 0$ ,  $\Upsilon_i = \widehat{\Phi}'_{-i}$ , если  $\rho_i^- > 0$ ;

$\Phi'_{ij}$  — квази-phi-функция вида (5) для моделирования условия непересечения эллипсов  $E_i$  и  $E_j$ ;  $\widehat{\Phi}'_{-ij}$  — псевдонормализованная квази-phi-функция вида (6) для моделирования ограничения на минимально допустимое расстояние  $\rho_{ij}^-$  между эллипсами  $E_i$  и  $E_j$ ;  $\widehat{\Phi}'_{+ij}$  — псевдонормализованная квази-phi-функция вида (7) для моделирования ограничения на максимально допустимые расстояния  $\rho_{ij}^+$  между эллипсами  $E_i$  и  $E_j$ ;  $\Phi'_i$  — квази-phi-функция вида (8) для моделирования ограничения включения эллипса  $E_i$  в область  $\Omega$ ;  $\widehat{\Phi}'_{-i}$  — псевдонормализованная квази-phi-функция вида (9) для моделирования ограничения на минимально допустимое расстояние  $\rho_i^-$  между эллипсом  $E_i$  и объектом  $\Omega^*$ .

Задача условной оптимизации (10)–(11) является NP-сложной задачей нелинейного программирования. Граница множества  $W$  образована нелинейными поверхностями. Матрица системы неравенств, которая описывает  $W$ , сильно разрежена и имеет блочную структуру, при этом не может быть сведена к блочно-диагональному виду.

### 3. СТРАТЕГИЯ РЕШЕНИЯ

Стратегия решения состоит из следующих шагов:

Шаг 1. Генерируем набор стартовых точек из области допустимых решений задачи (10)–(11), используя алгоритм (SPA), описанный ниже.

Шаг 2. Ищем локальный минимум функции цели  $F(u)$  задачи (10)–(11), стартуя из точек, полученных на шаге 1, применяя процедуру (LOFRT) локальной оптимизации с преобразованием области допустимых решений, описанную ниже.

Шаг 3. Выбираем лучшее локальное решение из полученных на шаге 2, как приближение к глобальному решению задачи (10)–(11).

Важной частью алгоритма локальной оптимизации (Шаг 2) является LOFRT процедура, которая позволяет сократить вычислительные затраты, благодаря сведению задачи (10)–(11) к последовательности подзадач меньшей размерности. Благодаря этому, предложенная стратегия решения задачи (10)–(11) позволяет получать локально оптимальные решения для  $n < 120$ . Поиск локальных экстремумов осуществляется с помощью программы IPOPT [12], доступной на открытом некоммерческом ресурсе (<https://projects.coin-or.org/Ipopt>).

*Алгоритм построения стартовых точек (SPA).* Для построения стартовой точки  $u^0$ , принадлежащей области допустимых решений  $W$ , применяем следующий алгоритм, основанный на гомотетических преобразованиях эллипсов. Полагаем, что коэффициенты гомотетии  $\lambda_i$  переменные, при этом  $\lambda_i = \lambda$  для  $i = 1, 2, \dots, n$  и  $0 \leq \lambda \leq 1$ .

Алгоритм включает следующие итерации:

1. Определяем начальные размеры контейнера  $\Omega^0$  достаточно большими, чтобы гарантировать размещение всех заданных эллипсов с учетом допустимых расстояний внутри  $\Omega^0$ . Например,  $l^0 = w^0 = 2 \sum_{i=1}^n a_i + (n-1)\rho^-$ ,  $\rho^- = \max_{i,j \in I_n} \rho_{ij}^-$ .

2. Полагаем  $\lambda = \lambda^0 = \frac{\delta}{\max_i a_i}$ , где  $\delta = 0.01(\min_i b_i)$ .
3. Генерируем множество  $n$  непересекающихся кругов радиуса  $\delta$  со случайно выбранным центром  $(x_i^0, y_i^0), i = 1, 2, \dots, n$ , принадлежащих  $\Omega^0$ .
4. Генерируем множество случайно выбранных параметров вращения  $\theta_i^0, i = 1, 2, \dots, n$ .
5. Определяем при фиксированных параметрах  $u_i^0, u_j^0$  для  $i < j = 1, 2, \dots, n$  начальные значения вектора вспомогательных переменных  $\tau^0$  при помощи специальной процедуры оптимизации для задачи поиска  $\max_{u_i \in R^2} \Upsilon_i(u_i^0, u_i')$  и  $\max_{u_{ij} \in R^2} \Upsilon_{ij}(u_i^0, u_j^0, u_{ij}')$ . Для решения вспомогательных задач в случае, если  $\Upsilon \in \{\Phi', \hat{\Phi}'_-\}$ , используем следующую модель:

$$\max \mu, \text{ s.t. } u' \in W'_\mu,$$

где  $W'_\mu = \{(u', \mu) : \Upsilon(u^0, u') \geq \mu\}$ ,  $\mu \in R^1$  — вспомогательная переменная,  $u'$  — вектор вспомогательных переменных и  $u^0$  — вектор фиксированных параметров для квази-phi-функции (соответственно, псевдонормализованной квази-phi-функции).

Таким образом, все квази-phi-функции (псевдонормализованные квази-phi-функции) в точке  $u^0 = (l^0, w^0, u_1^0, u_2^0, \dots, u_n^0, \tau^0)$  дают неотрицательные значения, где  $\tau^0 = (t^0)$  (или, соответственно,  $\tau^0 = (u_P^0, t^0, p_1^{01}, p_2^{01}, \dots, p_1^{0m}, p_2^{0m})$ ).

6. Стартуя из точки  $u^0$ , решаем вспомогательную задачу:

$$\kappa(u'^0) = \max_{u' \in W'} \kappa(u'), \kappa(u') = \lambda, \quad (12)$$

$$W' = \{u' \in R^{\sigma+1} : \Upsilon_{ij} \geq 0, \Upsilon_i \geq 0, i < j = 1, 2, \dots, n, l = l^0, w = w^0, 1 - \lambda \geq 0, \lambda \geq 0\}, \quad (13)$$

где  $u' = (u, \lambda)$  — вектор переменных,  $\lambda$  — переменный коэффициент гомотеции для всех эллипсов,  $u$  — вектор переменных задачи (10)–(11).

Таким образом, точка  $u'^0 = (l^0, w^0, u_1'^0, u_2'^0, \dots, u_n'^0, \tau'^0, 1)$  глобального максимума задачи (12)–(13) генерирует точку  $u^0 = (l^0, w^0, u_1^0, u_2^0, \dots, u_n^0, \tau^0)$  из области допустимых решений  $W$  задачи (10)–(11).

7. Вектор  $u^0$  рассматриваем в качестве стартовой точки для поиска следующего локального минимума задачи (10)–(11).

*Алгоритм локальной оптимизации с возможной трансформацией области (LOFRT) в задаче упаковки эллипсов.* Пусть  $u^0 \in W$  — одна из стартовых точек, полученных предыдущим методом. Основная идея последующего алгоритма LOFRT заключается в следующем.

Прежде всего, вокруг каждого эллипса  $E_i$  опишем круг  $C_i$  радиуса  $a_i$ ,  $i = 1, 2, \dots, n$ . Далее для каждого круга  $C_i$  строим «индивидуальный» прямоугольный контейнер  $\Omega_i \supset C_i \supset E_i$  с равными полусторонами длиной



$a_i + \varepsilon$ ,  $i = 1, 2, \dots, n$ , так, что  $C_i$ ,  $E_i$  и  $\Omega_i$  имеют один центр в центре симметрии  $(x_i^0, y_i^0)$  при условии, что стороны  $\Omega_i$  параллельны соответствующим сторонам  $\Omega$ . Здесь  $\varepsilon$  — наперед заданное положительное число. Строим область допустимых решений для задачи оптимизации следующим образом.

Определяем систему ограничений на вектор трансляции  $v_i$  для каждого эллипса  $E_i$  в виде  $\Phi^{C_i\Omega_i^*} = \min\{-x_i + x_i^0 + \varepsilon, -y_i + y_i^0 + \varepsilon, x_i - x_i^0 + \varepsilon, y_i - y_i^0 + \varepsilon\} \geq 0$ ,  $i = 1, 2, \dots, n$ .

Неравенство  $\Phi^{C_i\Omega_i^*} \geq 0$  эквивалентно системе из четырех линейных неравенств  $-x_i + x_i^0 + \varepsilon \geq 0$ ,  $-y_i + y_i^0 + \varepsilon \geq 0$ ,  $x_i - x_i^0 + \varepsilon \geq 0$ ,  $y_i - y_i^0 + \varepsilon \geq 0$ .

Определяем систему неравенств (дополнительных ограничений на размеры области размещений):  $l \geq l^0 - \varepsilon$ ,  $w \geq w^0 - \varepsilon$ .

Далее формируем область допустимых решений вида

$$W_1 = \{u \in R^{\sigma-\sigma_1} : \Upsilon_{ij} \geq 0, (i, j) \in \Xi_1, \Upsilon_i \geq 0, i \in \Xi_2, \Phi^{C_i\Omega_i^*} \geq 0, i = 1, 2, \dots, n,$$

$$l \geq l^0 - \varepsilon, w \geq w^0 - \varepsilon\}, \Xi_1 = \{(i, j) : \Upsilon^{\Omega_i\Omega_j} < 0\}, \Xi_2 = \{i : \Upsilon^{\Omega^*\Omega_i} < 0\}.$$

Другими словами, из системы, которая описывает  $W$ , удаляем неравенства с квази-phi- функциями для тех пар эллипсов, у которых индивидуальные контейнеры не пересекаются с учетом минимально допустимых расстояний. При этом добавляем вспомогательные неравенства, описывающие условие включения кругов  $C_i$  в соответствующий индивидуальный контейнер  $\Omega_i$ ,  $i = 1, 2, \dots, n$ , с учетом минимально допустимых расстояний. Такое преобразование позволяет уменьшить число вспомогательных переменных вектора  $\tau$  на  $\sigma_1$ . Затем осуществляем поиск точки локального минимума  $u_{w_1}^*$  подзадачи  $\min_{u_{w_1} \in W_1 \subset R^{\sigma-\sigma_1}} F(u_{w_1})$ . Точка  $u_{w_1}^*$  используется

при построения стартовой точки  $u^{(1)}$  для второй итерации оптимизационной процедуры (заметим, что ранее удаленные вспомогательные переменные должны быть переопределены с помощью процедуры, используемой в SPA, см. пункт 5). На данном этапе вновь определяем все пары эллипсов с непересекающимися индивидуальными контейнерами, формирующие соответствующую подобласть  $W_2$  (аналогично  $W_1$ ) и находим точку локального минимума  $u_{w_2}^* \in W_2$ , которая используется для построения стартовой точки  $u^{(2)}$  для третьей итерации, и т.д.

Итерационная процедура заканчивается, когда  $F(u_{w_k}^*) = F(u_{w_{k+1}}^*)$ , при этом  $u_{w_k}^*$  — точка локального минимума задачи

$$\min_{u_{w_k} \in W_k \subset R^{\sigma-\sigma_k}} F(u_{w_k}),$$

$$W_k = \{u \in R^{\sigma-\sigma_k} : \Upsilon_{ij}^k \geq 0, (i, j) \in \Xi_{k1}, \Upsilon_i^k \geq 0, i \in \Xi_{k2}, \Phi^{C_i\Omega_{ki}^*} \geq 0, i = 1,$$

$$2, \dots, n, l \geq l_{w_k}^* - \varepsilon, w \geq w_{w_k}^* - \varepsilon\}, \Xi_k = \{(i, j) : \Phi^{\Omega_{ki}\Omega_{kj}} < 0, i > j = 1, 2, \dots, n\}.$$

Точка  $u^* = u^{(k)*} = (u_{w_k}^*, \tau_k) \in R^\sigma$  является точкой локального минимума задачи (10)–(11), где точка  $u_{w_k}^* \in R^{\sigma-\sigma_k}$  является точкой локального минимума на последней итерации, а  $\tau_k \in R^{\sigma_k}$  — вектор удаленных ранее дополнительных переменных. Это утверждение следует из того факта, что размещение каждой пары эллипсов  $E_i$  и  $E_j$  при  $(i, j) \in \Xi \setminus \Xi_k$  и гарантирует существование вектора  $\tau_k$  дополнительных переменных, при которых  $\widehat{\Phi}'_{ij} \geq 0$ ,  $(i, j) \in \Xi \setminus \Xi_k$  в точке  $u^{(k)*}$ . Здесь  $\Xi = \{(i, j) : i > j = 1, 2, \dots, n\}$ . Следовательно, значение дополнительных переменных вектора  $\tau_k$  не влияет на значение функции цели, т.е.  $F(u_{w_k}^*) = F(u^{(k)*})$ . В этой связи нет необходимости переопределять значение дополнительных переменных вектора  $\tau_k$  на последней итерации.

Для  $O(n^2)$  пар эллипсов в контейнере алгоритм проверяет квази-phi-функции в общем случае только для  $O(n)$  пар эллипсов (это зависит от размеров эллипсов и величины  $\varepsilon$ ). Таким образом, LOFRT алгоритм позволяет свести задачу (10)–(11) с  $O(n^2)$  неравенствами и пространством решений  $W$  размерности  $O(n^2)$  к последовательности задач с  $O(n)$  неравенствами и пространством решений  $W_k$  размерности  $O(n)$ . Это приводит к значительному сокращению вычислительных ресурсов при решении задач нелинейного программирования.

#### 4. РЕЗУЛЬТАТЫ ВЫЧИСЛИТЕЛЬНЫХ ЭКСПЕРИМЕНТОВ

Приведем ряд примеров, чтобы продемонстрировать эффективность предлагаемого подхода. Эксперименты проводились на компьютере с процессором AMD Athlon 64 X2 5200+, для локальной оптимизации применялась программа IPOPT (<https://projects.coin-or.org/Ipropt>) на основе метода внутренней точки, приведенного в [9]. Полагаем  $\varepsilon = \sum_{i=1}^n b_i/n$  в вычислительных экспериментах, приведенных ниже.

Установленное ограничение по времени составляет 1 час. Для каждого примера вычисляется не менее 10 локальных минимумов.

##### Пример 1.

$n=28$ ,  $\{(a_i, b_i)=(2.2, 1.80), i = 1, \dots, 7\}$ ,  $\{(a_i, b_i)=(2.60, 1.70), i = 8, \dots, 14\}$ ,  $\{(a_i, b_i)=(3.5, 0.7), i = 15, \dots, 21\}$ ,  $\{(a_i, b_i)=(3.6, 2.7), i = 22, \dots, 28\}$ . Размещение эллипсов в прямоугольном контейнере без учета допустимых расстояний, соответствующее локальному минимуму, приведено на рис. 1а. Контейнер имеет размеры  $(l^*, w^*) = (22.273763, 24.126932)$  и площадь  $F(u^*) = 537.397581$ . Размещение эллипсов с учетом допустимых расстояний  $\rho^- = 0.5$  в прямоугольном контейнере, соответствующее локальному минимуму, приведено на рис. 1б. Контейнер имеет размеры  $(l^*, w^*) = (25.984532, 25.024524)$  и площадь  $F(u^*) = 650.250548$ .

##### Пример 2.

$n=36$ ,  $\{(a_i, b_i)=(2.2, 1.80), i = 1, \dots, 9\}$ ,  $\{(a_i, b_i)=(2.60, 1.70), i = 10, \dots, 18\}$ ,  $\{(a_i, b_i)=(3.5, 0.7), i = 19, \dots, 27\}$ ,  $\{(a_i, b_i)=(3.6, 2.7), i = 28, \dots, 36\}$ . Размещение эллипсов в прямоугольном контейнере без учета допустимых расстояний, соответствующее локальному минимуму, приведено на рис. 2а. Контейнер имеет размеры  $(l^*, w^*) = (25.176786, 27.380105)$  и площадь

$F(u^*) = 689.343044$ . Размещение эллипсов с учетом допустимых расстояний  $\rho^- = 0.5$  в прямоугольном контейнере, соответствующее локальному минимуму, приведено на рис. 26. Контейнер имеет размеры  $(l^*, w^*) = (27.498755, 30.282542)$  и площадь  $F(u^*) = 832.732196$ .

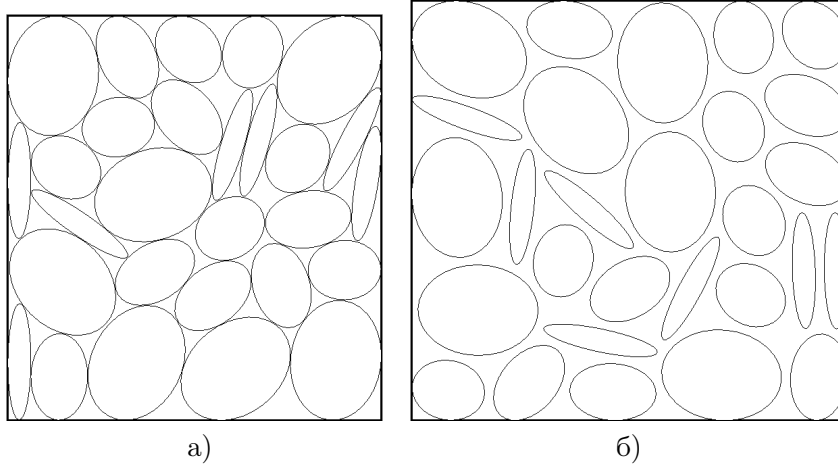


Рис. 1. Локально-оптимальное размещение эллипсов для примера 1: (а) — без учета допустимых расстояний между эллипсами, (б) — с учетом минимально допустимых расстояний между эллипсами

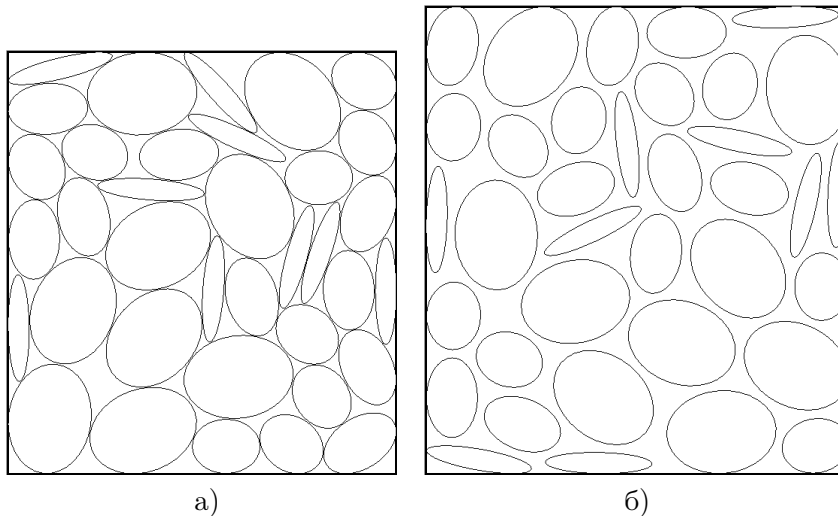


Рис. 2. Локально-оптимальное размещение эллипсов для примера 2: (а) — без учета допустимых расстояний между эллипсами, (б) — с учетом минимально допустимых расстояний между эллипсами

Для задачи упаковки эллипсов без учета допустимых расстояний предложенный алгоритм позволяет улучшить результаты по значению функции цели для многих примеров, приведенных в работе [4]: в частности, для

небольших наборов эллипсов (от 5 до 20) — на 1%–2%, для больших наборов эллипсов (от 14 до 100) — на 8%–9%. По времени решения получены рекорды для всех наборов данных.

ЛИТЕРАТУРА

1. Wascher G., Hauner H. and Schumann H. An improved typology of cutting and packing problems // *European Journal of Operational Research*. — 2007. — V. 183, Issue 3. — P. 1109–1130.
2. Bennell J. and Oliveira J. The geometry of nesting problems: A tutorial // *European J. Operational Research*. — 2008. — V. 184, Issue 2. — P. 397–415.
3. Chazelle B., Edelsbrunner H., Guibas L. J. The complexity of cutting complexes // *Discrete & Computational Geometry*. — 1989. — V. 4, Issue 1. — P. 139–181.
4. Chernov N., Stoyan Y., Romanova T. Mathematical model and efficient algorithms for object packing problem // *Computational Geometry: Theory and Applications*. — 2010. — V. 43, Issue 5. — P. 535–553.
5. Bennell J., Scheithauer G., Stoyan Y., Romanova T. and Pankratov A. Optimal clustering of a pair of irregular objects // *Journal of Global Optimization*. — 2014. DOI: 10.1007/s10898-014-0192-0. (Has been accepted for publication).
6. Chernov N., Stoyan Y., Romanova T., Pankratov A. Phi-Functions for 2D Objects Formed by Line Segments and Circular Arcs // *Advances in Operations Research*. Article ID 346358. — 2012. — V. 2012. — 26 pages. — doi:10.1155/2012/346358.
7. Birgin E. G., Bustamante L. H., Callisaya H. F., Mart J. M. Packing circles within ellipses // *International transactions in operational research*. — 2013. — V. 20, Issue 3. — P. 365–389.
8. Xu W. X., Chen H. S., Lv Z. An overlapping detection algorithm for random sequential packing of elliptical particles // *Physica A*. — 2011. — V. 390, № 13. — P. 2452–2467.
9. Josef K. and Steffen R. Cutting Ellipses from Area-Minimizing Rectangles // *Journal of Global Optimization*. — V. 59, Issue 2–3. — 2014. — P. 405–437.
10. Kallrath J. Cutting Circles and Polygons from Area-Minimizing Rectangles. *Journal of Global Optimization*. — V. 43, Issue 2–3. — 2009. — P. 299–328.
11. Стоян Ю. Г., Панкратов А. В., Романова Т. Е., Чернов Н. И. Квази-phi-функции для математического моделирования отношений геометрических объектов // *Доповіди Національної академії наук України*. — № 9. — 2014. (Прийнято до опублікування).
12. Wachter A., Biegler L. T. On the implementation of an interior-point filter line-search algorithm for large-scale nonlinear programming // *Mathematical Programming*. — V. 106, Issue 1. — 2006. — P. 25–57.

ОТДЕЛ МАТЕМАТИЧЕСКОГО МОДЕЛИРОВАНИЯ, ИНСТИТУТ ПРОБЛЕМ МАШИНОСТРОЕНИЯ ИМ. А. Н. ПОДГОРНОГО НАН УКРАИНЫ, УЛ. ДМ. ПОЖАРСКОГО, 2/10, Г. ХАРЬКОВ, 61046, УКРАИНА.